



بررسی تنوع مرفولوژیک و ژنتیکی ارقام برنج با استفاده از نشانگرهای ریزماهواره مرتبط با صفات تحمل به خشکی

زهره ولیزاده صومعه^۱، حبیب‌الله سمیع‌زاده لاهیجی^{۲*} و بابک ربیعی^۳

۱، ۲ و ۳- به ترتیب دانشجوی سابق کارشناسی ارشد، دانشیار و استاد گروه زراعت و اصلاح نباتات دانشکده علوم کشاورزی
دانشگاه گیلان

(تاریخ دریافت: ۹۲/۴/۲۲ - تاریخ پذیرش: ۹۲/۱۱/۲۸)

چکیده

در این مطالعه، تنوع مرفولوژیک و ژنتیکی ۳۲ ژنوتیپ برنج با استفاده از نشانگرهای ریزماهواره پیوسته با QTL‌های کنترل کننده صفات تحمل به خشکی مورد ارزیابی قرار گرفتند. تعداد کل نوارهای تولید شده به وسیله هر یک از نشانگرها در محدوده ۳ نوار در مکان RM317 تا ۸ نوار در مکان‌های RM3، RM228 و RM231 متغیر بود. نشانگر RM317 از نظر تعداد آلل موثر، تنوع ژنی نی، شاخص اطلاعات شانون و محتوای اطلاعات چند شکل (PIC)، دارای بالاترین مقادیر در بین نشانگرهای مورد مطالعه بود. ژنوتیپ‌های مورد بررسی بر اساس صفات مرفولوژیک در شرایط بدون تنش و تنش^۴-بار و نیز بر اساس داده‌های مولکولی به سه گروه تفکیک شدند. در مجموع نتایج حاصل از این پژوهش نشان داد که با توجه به معیارهای محاسبه شده در گروههای مختلف برنج، تنوع ژنتیکی مناسبی بین گروههای مختلف و نیز بین ارقام هر گروه وجود دارد. واکنش ارقام مورد مطالعه به تنش^۴-بار نیز نشان داد که رقم شیرودی و لاین‌های ۴۴ و ۸۳۱ دارای بیشترین طول ریشه و بیشترین میزان تحمل به تنش خشکی بودند، در حالی که ارقام بینام، دمزرد و صدری کمترین طول ریشه و بیشترین حساسیت به تنش خشکی را داشتند. در بین نشانگرها نیز نشانگرهای RM317، RM153 و RM325 با داشتن بیشترین تعداد آلل موثر و بالاترین میزان تنوع، ارقام برنج را بهتر از سایر نشانگرهای مورد مطالعه از نظر خصوصیات بررسی شده در شرایط تنش تفکیک کردند که در صورت تایید نتایج در آزمایش‌های تکمیلی دیگر، می‌توان از آنها در برنامه‌های انتخاب به کمک نشانگر در شرایط تنش خشکی استفاده کرد.

واژه‌های کلیدی: برنج، تحمل به خشکی، تنوع ژنتیکی، صفات مرفولوژیک، نشانگرهای ریزماهواره

مقدمه

ریزماهواره مورد مطالعه قرار گرفت. در مجموع با استفاده از ۱۴ جفت آغازگر ۴۱ آل شناسایی شد که به طور متوسط ۲/۹ آل در هر مکان ژنی می‌باشد. دو دندروگرام بر اساس ۳۵ آل ریزماهواره و ۱۰ صفت مرغولوژیک برای ژنوتیپ ایجاد شده و مقایسه شدند. این نتایج اطلاعات مفید را برای انتخاب ترکیبات مناسب برای نقشه برداری جایگاه صفت کمی (QTLs) مربوط به مقاومت به خشکی در برنج فراهم می‌کند.

در بررسی تنوع ژنتیکی و روابط بین ۲۳۶ ژنوتیپ برنج آپلنده و لولند جمع‌آوری شده از جنوب غربی چین با استفاده از ۲۸ نشانگر ریزماهواره و گروه‌بندی به روش نزدیکترین همسایه‌ها نشان داد که تمامی ۲۳۶ ژنوتیپ در دو گروه مربوط به ایندیکا و ژاپونیکا قرار گرفتند و بیش از ۷۵ درصد از توده‌های آپلنده به عنوان ژاپونیکا شناسایی شدند. مطالعه نشان داده است که، سطوح نسبتاً بالایی از تنوع ژنتیکی در ژرم پلاسم برنج آپلنده چینی وجود دارد، که می‌تواند به عنوان منابع ارزشمند ژنتیکی برای بهبود صفات مهم اقتصادی در برنج، از قبیل مقاومت به خشکی فراهم کند (Tang *et al.*, 2010).

یوسف و همکاران (Youssef *et al.*, 2010) با به کارگیری دو نشانگر مولکولی، شامل چندشکلی قطعات تکثیر شده تصادفی DNA (RAPD) و ریزماهواره‌های (SSR) پیوسته با مقاومت به خشکی، در بررسی تنوع ۴ رقم حساس و ۶ لاین برنج متتحمل به خشکی مشاهده کردند که از ۱۶ آغازگر RAPD مورد آزمایش، تنها ۵ آغازگر چند شکل بودند و میزان چند شکلی ۷۳/۰۲ درصد بود. تجزیه خوشی از تمام ارقام و لاین‌های جدید را در دو گروه جدا کرد و آغازگرهایی که در DNA ژنومی لاین‌های متتحمل به خشکی وجود داشتند، در ارقام حساس غایب بودند که می‌توان آنها را به عنوان نشانگرهای مقاومت به خشکی در نظر گرفت.

در این پژوهش، ساختار ژنتیکی ارقام برنج به وسیله نشانگرهای ریزماهواره پیوسته با خصوصیات مرتبط با تحمل به خشکی از قبیل طول ریشه، وزن خشک ریشه، نسبت طول ریشه به ساقه، لوله شدن برگ و ظرفیت تنظیم اسمزی ارزیابی شد. هدف از این مطالعه، بررسی فراوانی آللی و چندشکلی نشانگرها در جمعیت‌های مورد مطالعه و انتخاب سودمندترین آنها برای استفاده در برنامه‌های انتخاب به کمک نشانگر برای مقاومت به خشکی بود.

برنج گیاهی است که بیشترین نیاز آبی را در بین غلات دارد. تنفس خشکی در برخی از مراحل رشد و نمو گیاه در مقایسه با مراحل دیگر، صدمات بیشتری به محصول وارد می‌کند. در غلات از جمله برنج، دوره بحرانی نیاز آبی گیاه معمولاً زمان تشکیل اندام‌های تولیدمثلي و مرحله گرده افشاری و باروری است (Safaei Chaeikar *et al.*, 2008).

تنوع ژنتیکی اساس و پایه کار اصلاح نباتات است، به طوری که یک بهنژادگر در صورتی می‌تواند شانس موفقیت زیادی در برنامه اصلاحی خود داشته باشد که تنوع و شانس انتخاب مواد مناسب برای او موجود باشد (Allahgholipour *et al.*, 2005). به همین دلیل آگاهی از ساختار ژنتیکی ارقام بومی یک اصل مهم در برنامه‌های اصلاح گیاهان بوده و می‌تواند خط مشی صحیحی برای انتخاب ارقام مناسب از بین جمعیت‌های بهنژادی فراهم نماید (Mohammadi and Prasana, 2003).

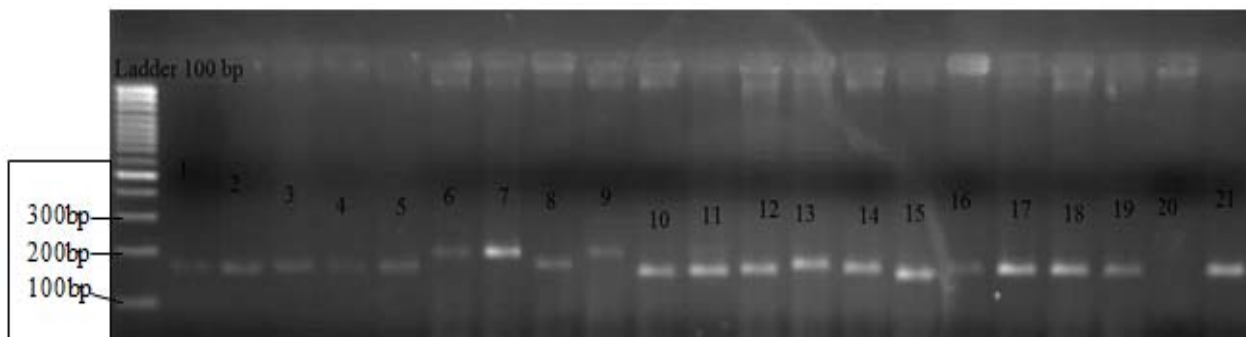
ریزماهواره‌ها یا توالی‌های تکراری ساده، یکی از نشانگرهایی هستند که برای بررسی تنوع ژنتیکی گیاهان بسیار مناسب می‌باشند. این توالی‌های تکراری، شامل موتیف‌های کوتاه هستند که معمولاً طولی بین ۲ تا ۶ جفت نوکلئوتید دارند. ریزماهواره‌ها (SSR) نشانگرهای ژنتیکی بسیار محبوب هستند که دارای توارث همبارز، فراوانی بالا، وسعت زیادی از تنوع آللی، سهولت ارزیابی تنوع اندازه از طریق PCR با جفت آغازگرهای طرفین و تکرارپذیری بالا می‌باشند (Mondini *et al.*, 2009).

ریزماهواره‌ها برای انجام تحقیقات در زمینه‌های مختلفی مانند بررسی تنوع ژنتیکی (Kibria *et al.*, 2009; Tabkhkar *et al.*, 2012)، تعیین مکان‌های ژنی کنترل Rabiei *et al.*, 2004; (Amarawathi *et al.*, 2008)، تعیین الگوی هتروتیک (Renming *et al.*, 2009)

استفاده شده است. Liu *et al.*, 2008 در آزمایش تان و همکاران (Thanh *et al.*, 1999) بر روی ۳۳ توده برنج آپلنده ویتنام همراه با ۱۳ لاین برنج انتخاب شده از چندین کشور دیگر، تفاوت در مرغولوژی ریشه در بسیاری از صفات مورد بررسی ریشه از قبیل حداقل طول ریشه، وزن خشک ریشه، نسبت عمق ریشه به ساقه و نسبت وزن ساقه به ریشه مشاهده شد. در آزمایش دیگری، تنوع ژنتیکی ارقام برنج با استفاده از نشانگرهای

جدول ۱- نام و منشاء ژنوتیپ‌های برنج استفاده شده در تحقیق
Table 1. Name and origin of rice genotypes used in this study

| شماره No. | ژنوتیپ Genotype | منشا Origin | شماره No. | ژنوتیپ Genotype | منشا Origin |
|--------------|--------------------|-----------------|--------------|--------------------|-----------------|
| 1 | Binam | Iran (native) | 17 | Hasani | Iran (native) |
| 2 | ChampaBoodar | Iran (native) | 18 | DomSorkh | Iran (native) |
| 3 | Hasansarae | Iran (native) | 19 | Dorfak | Iran (improved) |
| 4 | DomSefid | Iran (native) | 20 | Salari | Iran (native) |
| 5 | Gharib | Iran (native) | 21 | DomZard | Iran (native) |
| 6 | IR36 | IRRI | 22 | DomSiah | Iran (native) |
| 7 | Kadous | Iran (improved) | 23 | Line830 | IRRI |
| 8 | Anbarboo | Iran (native) | 24 | Bejar | Iran (improved) |
| 9 | IR28 | IRRI | 25 | Sepidrood | Iran (improved) |
| 10 | Nemat | Iran (improved) | 26 | Sadri | Iran (native) |
| 11 | IR50 | IRRI | 27 | IR60 | IRRI |
| 12 | IR30 | IRRI | 28 | Gohar | Iran (improved) |
| 13 | Khazar | Iran (improved) | 29 | Saleh | Iran (improved) |
| 14 | Neda | Iran (improved) | 30 | Line44 (PR) | Iran (improved) |
| 15 | Deilamani | Iran (native) | 31 | Line831 | Iran (improved) |
| 16 | Hashemi | Iran (native) | 32 | Shiroudi | Iran (improved) |



شکل ۱- الگوی نواری نشانگر RM336 در ۲۱ ژنوتیپ از برنج‌های مورد مطالعه. ستون Ladder نشانگر اندازه 100 bp است.
Figure 1. Banding pattern of RM336 in the 21 studied rice genotypes. Ladder is DNA size marker 100 bp.

نهایی ۱۰ میکرولیتر در هر نمونه، ۵۰ نانوگرم DNA الگو، دو میلیمولار محلول چهار نوع dNTP، ۱/۵ میلیمول $MgCl_2$ ، ۰/۰۱ میلیمول از هر آغازگر مستقیم و معکوس، یک واحد آنزیم Taq پلیمراز و بافر ۱X PCR با هم محلول شدند. برنامه حرارتی PCR در این تحقیق به صورت Touchdown و دارای سه چرخه دمایی مختلف بود. چرخه اول شامل ۳ دقیقه دمای ۹۵ درجه سانتی‌گراد برای واسرشته شدن اولیه DNA الگو، چرخه دوم شامل ۱۰ سیکل بود که هر سیکل شامل ۳۰ ثانیه در دمای ۹۴ درجه سانتی‌گراد، ۳۰ ثانیه در دمای ۶۵ درجه سانتی‌گراد برای اتصال آغازگرها به DNA الگو و یک دقیقه در دمای ۷۲ درجه سانتی‌گراد برای بسط آغازگرها بود. در این مرحله، دما در هر سیکل یک درجه کاهش یافت تا به دمای ۵۵ درجه سانتی‌گراد رسید (دماهی دقیق با توجه به

مواد و روش‌ها

مواد گیاهی این تحقیق، سه گروه متفاوت از لاین‌های مادری برنج بود که شامل ۱۴ رقم ایرانی، ۹ رقم اصلاح شده ایرانی و ۹ رقم IRRI بود (جدول ۱). ۳۰ روز پس از نشاء گیاهچه‌های جوان، نمونه‌های برگی تهیه و تا زمان استخراج DNA در دمای ۸۰°C در یخچال نگهداری شدند. استخراج DNA به روش CTAB (Saghai et al., 1984) انجام شد. کیفیت و کمیت DNA اسپکتروفوتومتری تعیین گردید. قبل از انجام واکنش PCR، تمامی نمونه‌های استخراجی تا غلتت ۵۰ نانوگرم در میکرولیتر رقیق شدند. تکثیر DNA ژنومی با واکنش زنجیره‌ای پلیمراز (PCR) با دستگاه ترموسایکلر Biometra انجام شد. برای تهیه محلوت واکنش در حجم

تشخیص و با استفاده از نرم افزار SPSS نسخه ۱۸ انجام شد. تجزیه به مختصات اصلی و تست منتل نیز با استفاده از نرم افزار GenStat نسخه ۱۲ (GenStat, 2009) انجام شد.

به منظور تعیین اثر تنش خشکی بر خصوصیات ریشه در مرحله جوانه زنی و رشد گیاهچه، آزمایشی به صورت فاکتوریل در قالب طرح کاملاً تصادفی با سه تکرار انجام شد. پتانسیل خشکی شامل ۲ سطح (بدون تنش و -۴ بار) بود. پتانسیل خشکی با استفاده از پلی اتیلن گلایکول ۶۰۰۰ تهیه شد و برای پتانسیل صفر از آب مقطر به عنوان شاهد استفاده گردید (Michel and Kaufmann, 1972). برای ضدعفونی بذرها از هیپوکلریت سدیم ۱/۵ درصد به مدت ۱۰ دقیقه استفاده شد و سپس بذور چند بار با آب مقطر شستشو داده شدند. ظروف پتروی دیش به ابعاد ۸ سانتی‌متری که در کف آنها کاغذ صافی و اتمن قرار گرفت و به هر ظرف ۱۰ میلی لیتر از محلول‌های آماده شده اضافه گردید و در داخل هر پتروی ۱۰ عدد بذر کشت گردید و در داخل انکوباتور با دمای ۳۷ درجه سانتی‌گراد قرار داده شد. پس از ۱۴ روز، خصوصیات مورفولوژیک از قبیل طول ریشه‌چه و ساقه‌چه، نسبت طول ریشه چه به ساقه چه، وزن خشک ریشه‌چه و ساقه‌چه و نسبت وزن خشک ریشه‌چه به ساقه‌چه در هر کدام از سطوح تنشی اندازه‌گیری شد که نتایج مربوط به تنش -۴- بار در جدول ۹ ارائه شده است و برای هر کدام از سطوح تنشی، دندروگرام با استفاده از روش وارد (WARD) رسم شد. تجزیه تحلیل‌های آماری برای صفات مورفولوژیکی با استفاده از نرم افزار SPSS نسخه ۱۸ انجام شد.

نتایج و بحث

تکثیر DNA ژنومی ۳۲ ژنوتیپ برنج با استفاده از نشانگر ریزماهواره نشان داد که ۱۵ نشانگر چند شکل بودند. تعداد کل قطعات تکثیر شده در محدوده ۳ تا ۸ نوار قرار داشت. تعداد قطعات تکثیر شده چند شکل نیز به طور متوسط به ازای هر نشانگر ۶ نوار بود. میزان اطلاعات چند شکل (PIC) که معادل تنوع ژنتیکی بوده و قدرت تفکیک یک نشانگر را به واسطه تعداد آلل‌های چند شکل و فراوانی نسبی این آلل‌ها در جمعیت تحت مطالعه نشان می‌دهد، به تفکیک برای هر یک از نشانگرهای مورد مطالعه محاسبه و

دمای ذوب هر آغازگر تعیین شد، به طوری که چهار درجه کمتر از دمای ذوب آن آغازگر باشد. چرخه سوم شامل ۲۶ سیکل بود که هر سیکل شامل ۳۰ ثانیه دمای ۹۴ درجه سانتی‌گراد، ۳۰ ثانیه دمای ۵۵ درجه سانتی‌گراد و یک دقیقه دمای ۷۲ درجه سانتی‌گراد بود و جهت تکمیل رشته‌های ناقص باقیمانده واکنش با یک مرحله بسط نهایی پنج دقیقه‌ای در دمای ۷۲ درجه سانتی‌گراد خاتمه یافت. با بررسی منابع و جستجو در پایگاه اطلاعات ژنتیکی گرامنه (<http://www.gramene.org/micosat/ssr.html>)، تعداد ۱۵ جفت آغازگر ریزماهواره که پیوستگی بالایی با صفات مرتبط با تحمل به خشکی داشتند، انتخاب شدند (جدول ۲). فرآورده‌های حاصل از نشانگرهای SSR روی ژل آگارز ۳ در صد و تعدادی دیگر با استفاده از ژل پلی اکریلامید و اسروشته ساز ۶ درصد از یکدیگر تفکیک شدند. برای رنگ آمیزی از اتیدیوم بروماید ۵ درصد استفاده شد.

با توجه به اینکه ارقام مورد مطالعه به عنوان والدین خالص در موسسه تحقیقات برنج کشور یا موسسه بین‌المللی تحقیقات برنج نگهداری و در تلاقي‌های مورد نظر استفاده می‌شوند، بنابراین تمامی ارقام مورد مطالعه خالص بودند و فقط یک باند برای تمامی نشانگرهای مورد مطالعه نشان دادند. داده‌های مولکولی بر اساس وجود باند "یک" و عدم وجود باند "صفر" برای هر نشانگر حاصل شد. میزان اطلاعات چندشکل یا PIC (information content) ارزش یک نشانگر برای کشف چندشکلی درون یک جمعیت را نشان می‌دهد و از طریق رابطه ۱ و با استفاده از نرم افزار Excel محاسبه گردید (Powell *et al.*, 1996). در این فرمول، P_i فراوانی آلل یا باند آام و n تعداد آلل می‌باشد.

$$\text{PIC} = 1 - \sum p_i^2 \quad (1)$$

پارامترهای مربوط به ساختار ژنتیکی ژنوتیپ‌ها، تعداد آلل‌های مؤثر (Hartl and Clarke, 1997) (Hartl and Clarke, 1997) شاخص شانون (Shannon, 1948) و شاخص تنوع ژنی (Nei, 1987) (Nei, 1987) با استفاده از نرم افزار POPGENE32 نسخه ۱/۳۱ (Yeh, 1999) (Yeh, 1999) محاسبه شد.

روابط ژنتیکی بین نمونه‌ها با استفاده از ضریب تطابق ساده محاسبه شد و برای گروه‌بندی ارقام از تجزیه خوشه‌ای به روش UPGMA و نرم افزار NTSYS-pc (Rohlf, 1999) (Rohlf, 1999) استفاده گردید. صحت گروه‌بندی حاصل از تجزیه خوشه‌ای به وسیله تجزیه تابع

جدول ۲- مشخصات نشانگرهای ریزماهواره پیوسته با QTL‌های کنترل کننده صفات مرتبط با تحمل به خشکی
Table 2. Characteristics of microsatellite markers linked to QTLs controlling traits associated with drought tolerance

| نشانگر Marker | شماره کروموزوم Chromosome no. | موتیف Motif | صفات تحمل به خشکی Drought tolerance traits |
|------------------|----------------------------------|-----------------|---|
| RM443 | 1 | (GT)10 | Root length |
| RM403 | 1 | (GA)8 | Root length |
| RM200 | 1 | (GA)16 | Root length |
| RM231 | 3 | (CT)16 | Root dry weight |
| RM317 | 4 | (GC)4(GT)18 | Condensation resistance to yellow leaf |
| RM241 | 4 | (CT)31 | Condensation resistance to yellow leaf |
| RM153 | 5 | (GGC)10 | Osmoregulation capacity |
| RM413 | 5 | (AG)11 | The amount of potassium in shoot |
| RM3 | 6 | (GA)2GG(GA)25 | The leaf resistance of the rolling |
| RM336 | 7 | (CTT)18 | Root dry weight |
| RM325 | 8 | (CAT)4TAG(CAT)5 | The leaf resistance of the rolling |
| RM25 | 8 | (GA)18 | Osmoregulation capacity |
| RM264 | 8 | (GA)27 | The amount of potassium in shoot |
| RM228 | 10 | (CA)6(GA)36 | The leaf resistance of the rolling |
| RM12 | 12 | (GA)21 | Root to shoot ratio |

جدول ۳- شاخص شانون و محتوای اطلاعات چندشکل حاصل از ۱۵ نشانگر ریزماهواره در ۳۲ ژنتوتیپ برنج مورد مطالعه
Table 3. Shannon index and polymorphic information content (PIC) of 15 microsatellite markers in the 32 studied rice genotypes

| آغازگر Primer | تعداد کل باند Total number of bands | تعداد آلل موثر Effective number of alleles | تنوع ژنی نی Nei's gene diversity | شاخص اطلاعات شانون Shannon's information index | محتوای اطلاعات چندشکل PIC |
|--------------------|--|---|-------------------------------------|---|---------------------------------|
| RM443 | 6 | 2.1090 | 0.1956 | 0.1339 | 0.25 |
| RM403 | 5 | 2.1799 | 0.2393 | 0.2527 | 0.27 |
| RM200 | 7 | 2.1622 | 0.2363 | 0.2586 | 0.23 |
| RM231 | 8 | 2.1067 | 0.1946 | 0.1940 | 0.22 |
| RM317 | 3 | 2.4342 | 0.4116 | 0.4692 | 0.45 |
| RM241 | 6 | 2.1919 | 0.2433 | 0.2544 | 0.23 |
| RM153 | 4 | 2.3027 | 0.3109 | 0.3686 | 0.34 |
| RM413 | 7 | 2.1694 | 0.2336 | 0.2442 | 0.22 |
| RM3 | 8 | 2.1332 | 0.2118 | 0.2154 | 0.20 |
| RM336 | 6 | 2.1895 | 0.2118 | 0.2781 | 0.23 |
| RM325 | 4 | 2.2958 | 0.3207 | 0.3570 | 0.38 |
| RM25 | 6 | 2.2136 | 0.2568 | 0.2734 | 0.25 |
| RM264 | 6 | 2.1835 | 0.2540 | 0.2872 | 0.32 |
| RM228 | 8 | 2.1488 | 0.2103 | 0.2055 | 0.17 |
| RM12 | 7 | 2.1622 | 0.2363 | 0.2586 | 0.25 |
| میانگین Average | 6 | 2.1812 | 0.2537 | 0.2589 | 0.26 |

آل تهی (Null allele) برای یک مکان ژنی خاص در یک رقم یا ژنتوتیپ زمانی مشاهده می‌شود که فرآورده حاصل از تکثیر توسط واکنش PCR در جریان الکتروفورز و رنگ‌آمیزی ژل قابل مشاهده نیاشد (Lapitan *et al.*, 2007). از بین ۱۵ نشانگر در این تحقیق، ۸ نشانگر حداقل در یکی از ارقام مورد مطالعه آل تهی داشتند که بیشترین آل تهی در مکان ریزماهواره RM443 و RM403 مشاهده

نتایج در جدول ۳ ارائه شده است. دامنه PIC در این تحقیق از ۰/۱۷ (RM228) تا ۰/۴۵ (RM317) و به طور متوسط ۰/۲۶ بود (جدول ۳). لوان و همکاران (Luan *et al.*, 2008) با استفاده از ۳۶ نشانگر ریزماهواره در بین ۵۰ واریته برنج، میانگین PIC تمامی نشانگرهای ۰/۳۳۹ گزارش شد.

لوآن و همکاران (Luan *et al.*, 2008) و نی و همکاران (Ni *et al.*, 2008) نیز گزارش شده است که نشان می‌دهد ریزماهواره‌ها از توان بالایی برای گروه‌بندی ژنوتیپ‌ها و تفکیک آنها از یکدیگر برخوردارند.

صحت گروه‌بندی حاصل از تجزیه خوش‌های، به وسیله تجزیه تابع تشخیص مورد آزمون قرار گرفت و مشخص شد که صحت گروه‌بندی حاصل از تجزیه خوش‌های ۹۶/۹ درصد بوده است، به طوری که از ۱۵ ژنوتیپ قرار گرفته در گروه دوم، ۱۴ ژنوتیپ به وسیله تجزیه تابع تشخیص نیز در این گروه قرار گرفتند و فقط یکی از ژنوتیپ‌های این گروه به گروه اول در کنار ۷ ژنوتیپ دیگر منتقل شد (جدول ۴).

نتایج حاصل از تجزیه به مختصات اصلی نشان داد که ۱۰ بردار اول توانستند مجموعاً ۳۷/۲۵ درصد از واریانس کل را توجیه کنند (جدول ۵). سه بردار اول توانستند مجموعاً ۱۴/۰۸ درصد از واریانس کل را توجیه کنند. در داده‌های مولکولی، در صورتیکه دو یا سه بردار اول ۱۰ تا ۲۰ درصد از تغییرات مربوط به نشانگرهای را توجیه نمایند، اگر چه ممکن است برای نمایش گرافیکی مناسب نباشد، ولی از نظر ژنتیکی نشان دهنده نمونه‌برداری مطلوب نشانگرهای از کل ژنوم می‌باشد (Syahsar *et al.*, 2010).

واکنش متفاوت گیاهچه تحت شرایط تنش آب، در ژنوتیپ‌های متفاوت که با مقاومت به خشکی در برج و توضیح ژنتیکی آن همراه است، می‌تواند در اصلاح برای مقاومت به تنش مفید باشد (Srividhya *et al.*, 2011).

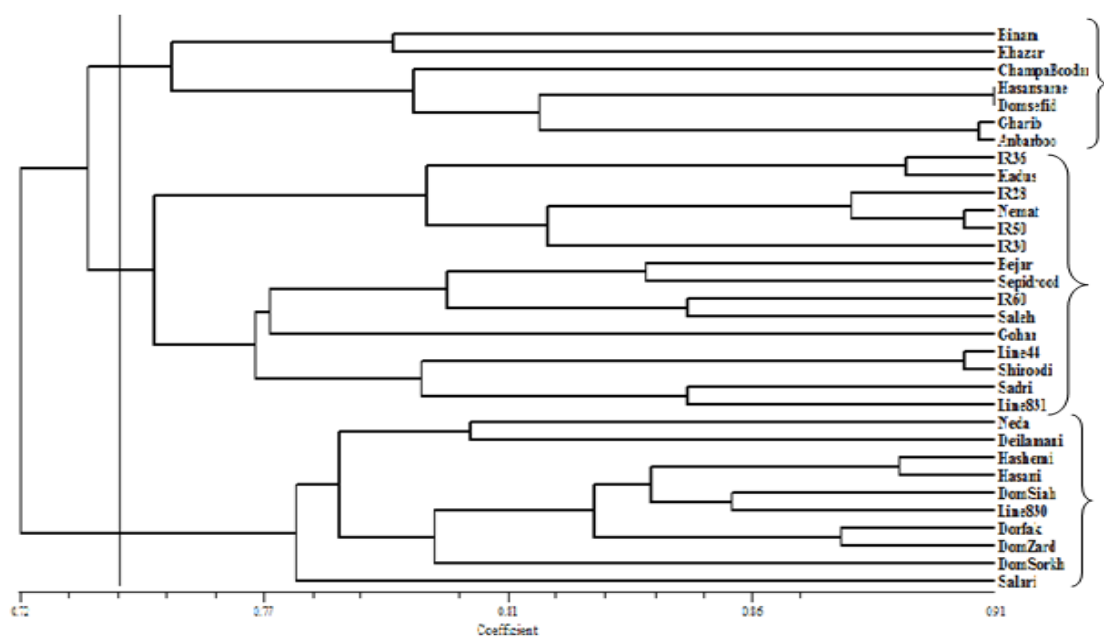
نتایج حاصل از تجزیه واریانس بر اساس طرح فاکتوریل در قالب طرح کاملاً تصادفی (جدول ۶) نشان داد که تفاوت معنی‌داری در بین ژنوتیپ‌ها، سطوح تنش و اثر متقابل ژنوتیپ × تنش برای کلیه صفات مطالعه شده در سطح احتمال ۱ درصد وجود داشت. وجود اثر متقابل معنی‌دار ژنوتیپ × تنش نشان می‌دهد که واکنش ژنوتیپ‌ها در سطوح تنش مورد مطالعه یکسان نبوده و ژنوتیپ‌ها واکنش‌های متفاوتی در سطوح تنش مختلف داشتند.

در گروه‌بندی ارقام بر اساس صفات مرفوولوژیک اندازه‌گیری شده و نسبت صفات محاسبه شده، ماتریس فاصله با استفاده از روش اقلیدسی برآورد شد و دندروگرام با استفاده از روش WARD در هر کدام از سطوح تنش رسم شد (شکل‌های ۴ و ۵). برش دندروگرام در سطح بدون تنش در فاصله ۱۲/۵ واحد، ژنوتیپ‌ها را در ۳ خوش و برش

شد (۲ و ۴ آلل تهی). در تحقیقی که لایپیتان و همکاران (Lapitan *et al.*, 2007) انجام دادند در مجموع از ۱۵۱ نشانگر ریزماهواره، ۵۶ نشانگر آلل تهی نشان دادند. از آنجایی که فراوانی آلل تهی در محاسبه تنوع ژنی در هر مکان ریزماهواره در نظر گرفته نمی‌شود، از این رو وجود آلل‌های تهی ممکن است منجر به کاهش هتروزیگوتسیتی و انحراف از تعادل مورد انتظار هاردی واینبرگ اینگونه نشانگرهای در جمعیت مورد مطالعه شود (Lapitan *et al.*, 2007)، ولی بررسی این نشانگرهای در تعداد زیادی از ژنوتیپ‌ها منجر به غربال نشانگرهای مناسب که در تعداد زیادی از ژنوتیپ‌ها قابل مشاهده و بررسی باشند، به ویژه در روش انتخاب به کمک نشانگر خواهد شد.

مطالعه تنوع ارقام بر اساس ضریب‌های تشابه مختلف و الگوریتم‌های مختلف گروه‌بندی نشان داد که بیشترین ضریب همبستگی کوفنتیک (۰/۸۰٪) مربوط به استفاده از ضریب تطابق ساده با استفاده از تجزیه خوش‌های به روش UPGMA بود. برش دندروگرام از ناحیه تشابه ۰/۷۴، ارقام را به سه گروه تفکیک کرد (شکل ۲). در گروه ۱ ارقام بینام، خزر، چمپابودار، حسن‌سرایی، دم سفید، غریب و عنبربو قرار گرفتند. خزر از ارقام اصلاح شده ایرانی است که به همراه ارقام بومی از نظر مقاومت به خشکی در یک گروه قرار گرفت. در گروه ۲ نیز ۱۵ رقم با تشابه تقریبی ۰/۷۵ قرار گرفتند. این گروه شامل دو زیر گروه بود. زیر گروه اول شامل ۶ رقم با ضریب تشابه ۰/۸ و زیر گروه دوم شامل ۹ رقم با ضریب تشابه ۰/۷۷ بود. در این گروه اکثر ارقام IRRI در کنار ارقام بومی و اصلاح شده قرار گرفتند. قرار گرفتن ارقام اصلاح شده ایرانی در کنار ارقام خارجی به این دلیل است که عموماً ارقام اصلاح شده ایرانی در اثر گزینش ژرم پلاسم‌های IRRI و یا دورگ‌گیری بین ارقام بوم و IRRI بوجود آمدند و همین مشابهت ژنتیکی باعث شده که در یک گروه قرار بگیرند و لاین ۴۴ (ژنوتیپ PR) که یک ژنوتیپ مقاوم به سرما می‌باشد (Allahgholipour *et al.*, 2012) نیز در این گروه قرار گرفته است. در گروه سوم نیز ۹ رقم قرار گرفتند که در این گروه نیز ارقام بومی و اصلاح شده ایرانی به جز لاین ۸۳۰ که یک ژنوتیپ با منشا ژاپونیکا از IRRI می‌باشد، در کنار یکدیگر قرار گرفتند.

مینگ و همکاران (Ming *et al.*, 2010) نیز گزارش نمودند که نشانگرهای ریزماهواره توانستند ژنوتیپ‌های مورد مطالعه آنها را گروه‌بندی نمایند. نتایج مشابهی توسط



شکل ۲- گروه‌بندی ژنوتیپ‌های برنج با استفاده از روش UPGMA و ضریب تطابق ساده بر اساس نشانگرهای ریزماهواره

Figure 2. Grouping of rice genotypes using simple matching coefficient and UPGMA by microsatellite markers

جدول ۴- ارزیابی نسبت موفقیت گروه‌بندی ژنوتیپ‌های برنج با استفاده از تجزیه تابع تشخیص

Table 4. The success percentage of grouping of the rice genotypes using discrimination function analysis

| گروه Group | تعداد ژنوتیپ‌ها Number of genotypes | میزان صحت گروه‌بندی ژنوتیپ‌ها در هر گروه Accuracy of grouping of the genotypes in each group (%) | | |
|------------------------------------|---|---|-------|------|
| | | 1 | 2 | 3 |
| 1 | 7 | 7 | | |
| | | 100% | | |
| 2 | 15 | 1 | 14 | |
| | | 6.7% | 93.3% | |
| 3 | 10 | | | 10 |
| | | | | 100% |
| صحت گروه‌بندی کل Total accuracy | | 96.9% | | |

جدول ۵- تجزیه به مختصات اصلی با استفاده از نشانگرهای SSR

Table 5. Principal coordinate analysis using SSR markers

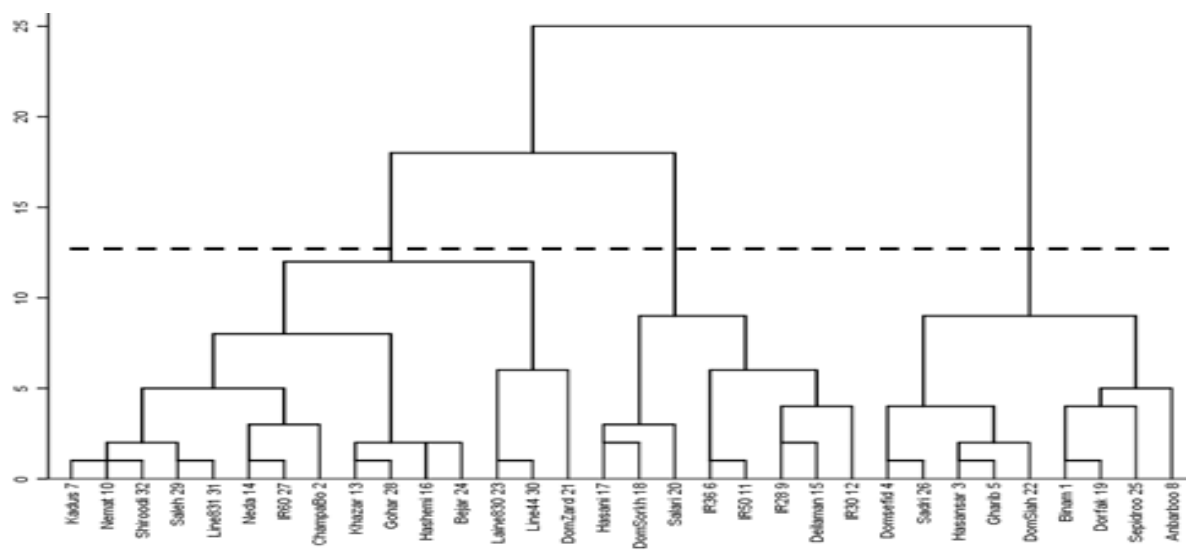
| بردار Vector | ریشه مشخصه Latent root | سهم واریانس توجیه شده Variation percentage | سهم تجمعی واریانس توجیه شده Cumulative variation percentage |
|-----------------|---------------------------|---|--|
| 1 | 4.975 | 5.32 | 5.32 |
| 2 | 4.389 | 4.7 | 10.02 |
| 3 | 3.792 | 4.06 | 14.08 |
| 4 | 3.425 | 3.67 | 17.75 |
| 5 | 3.385 | 3.62 | 21.37 |
| 6 | 3.255 | 3.48 | 24.85 |
| 7 | 3.184 | 3.41 | 28.26 |
| 8 | 2.963 | 3.17 | 31.43 |
| 9 | 2.862 | 3.06 | 34.49 |
| 10 | 2.538 | 2.76 | 37.25 |

جدول ۶- تجزیه واریانس صفات مرفوژیکی بررسی شده در آزمایشگاه
Table 6. Analysis of variance for morphological traits studied in the laboratory

| منابع تغییرات Source of Variation | درجه آزادی Degree of freedom | وزن خشک Shoot dry weight (gr) | وزن ساقه‌چه Root dry weight (gr) | طول ساقه‌چه Shoot length (mm) | طول ریشه‌چه Root length (mm) | نسبت وزن خشک Root to shoot dry weight | نسبت طول ریشه به ساقه Root to shoot ratio |
|--------------------------------------|---------------------------------|----------------------------------|-------------------------------------|----------------------------------|---------------------------------|--|--|
| ژنوتیپ | 31 | 0.0025** | 0.0027** | 0.2293** | 0.3292** | 0.1452** | 0.613** |
| Genotype (G) تنش | 2 | 0.5857** | 0.529** | 62.65** | 59.466** | 0.3336** | 26.62** |
| Stress (S) ژنوتیپ × تنش | 62 | 0.0017** | 0.0018** | 0.1875** | 0.247** | 18.299** | 0.375** |
| S×G خطای آزمایش | 192 | 0.0003 | 0.0002 | 0.022 | 0.0171 | 0.2937 | 0.0241 |
| Error | | | | | | | |

* and **: Significant at 5% and 1% probability levels, respectively.

* و **: به ترتیب معنی‌دار در سطح احتمال ۰.۱٪ و ۰.۵٪



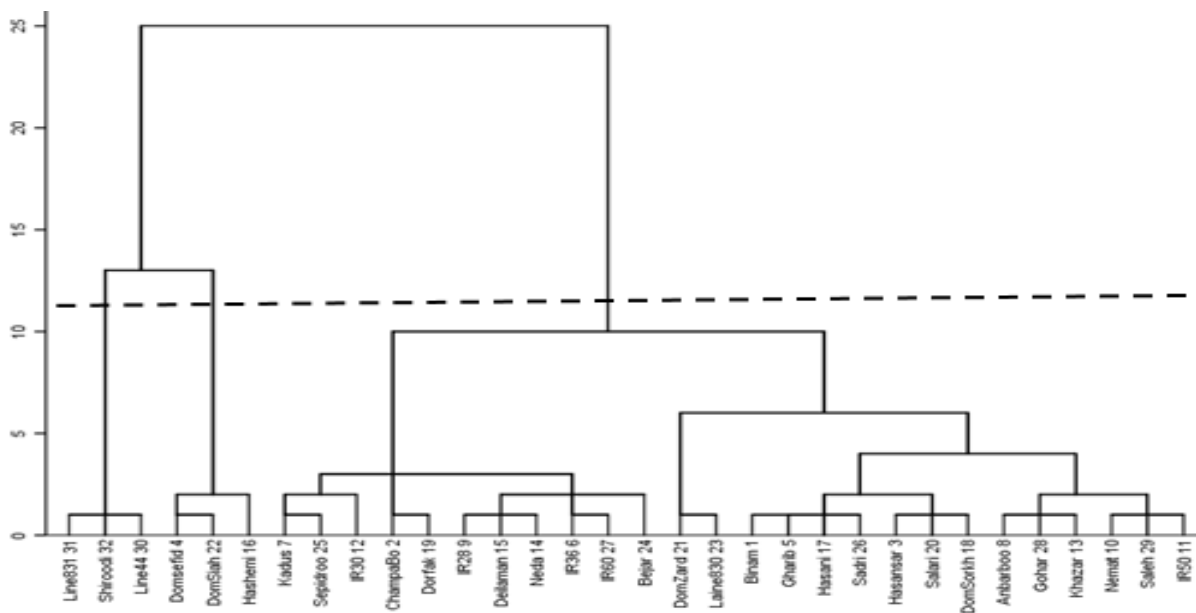
شکل ۴- گروه‌بندی ۳۲ ژنوتیپ برنج بر اساس داده‌های مرفوژیک تحت شرایط بدون تنش

Figure 4. Grouping of 32 rice genotypes based on morphological data under non-stress condition

جدول ۷- ارزیابی نسبت موفقیت گروه‌بندی ژنوتیپ‌های برنج با استفاده از تجزیه تابع تشخیص تحت شرایط بدون تنش

Table 7. The success percentage of grouping of the rice genotypes using discrimination function analysis under non-stress condition

| گروه Group | تعداد ژنوتیپ‌ها Number of genotypes | میزان صحت گروه‌بندی ژنوتیپ‌ها در هر گروه | | |
|------------------------------------|--|--|-----------|-----------|
| | | 1 | 2 | 3 |
| 1 | 15 | 15 100% | | |
| 2 | 8 | | 8 100% | |
| 3 | 9 | | | 9 100% |
| صحت گروه‌بندی کل Total accuracy | | | | 100% |



شکل ۵- گروه‌بندی ۳۲ ژنوتیپ برنج بر اساس داده‌های مرفولوژیک تحت تنش ۴- بار

Figure 5. Grouping of the 32 rice genotypes based on morphological data under -4 bar stress

جدول ۸- ارزیابی نسبت موفقیت گروه‌بندی ژنوتیپ‌های برنج با استفاده از تجزیه تابع تشخیص تحت شرایط تنش ۴- بار

Table 8. The success percentage of grouping of the rice genotypes using discrimination function analysis under -4 bar stress

| گروه Group | تعداد ژنوتیپ‌ها Number of genotypes | میزان صحت گروه‌بندی ژنوتیپ‌ها در هر گروه | | |
|------------------------------------|---|--|------|------|
| | | 1 | 2 | 3 |
| 1 | 3 | 3 | | |
| | | 100% | | |
| 2 | 3 | | 3 | |
| | | | 100% | |
| 3 | 26 | | | 26 |
| | | | | 100% |
| صحت گروه‌بندی کل Total accuracy | | | | |

مقایسه تجزیه خوشهای حاصل از نشانگرهای مولکولی و تجزیه خوشهای حاصل از صفات مرفولوژیک نشان داد که در سطح شاهد، از ۱۵ واریته‌ای که در گروه دوم مولکولی در کنار هم قرار گرفتند، ۹ رقم در تجزیه خوشهای حاصل از صفات مرفولوژیک در گروه اول قرار گرفتند و از ۷ ژنوتیپی که در در گروه اول مولکولی در کنار هم قرار گرفتند ۵ رقم در تجزیه خوشهای حاصل از صفات مرفولوژیک در گروه سوم قرار گرفتند تست منتل همبستگی بین دو ماتریس تشابه را ۰/۷۷ محاسبه کرد.

دندروگرام در فاصله ۱۱ واحد، ژنوتیپ‌ها را در ۳ گروه قرار داد. در میان آنها خوشه سوم دارای تعداد زیادی از ژنوتیپ‌ها شد. در سطح شاهد، ۳ گروه فاصله چندانی با هم نداشتند و از نظر صفات اندازه‌گیری شده به هم نزدیک بودند، با تغییر سطح تنش به ۴- بار، ۳ گروه اختلاف فاحشی را از نظر صفات اندازه‌گیری شده نشان دادند. صحت گروه‌بندی حاصل توسط تجزیه تابع تشخیص مورد آزمون قرار گرفت (جدول‌های ۷ و ۸). نتایج نشان داد که صحت گروه‌بندی حاصل از تجزیه خوشهای در سطح بدون تنش و تنش ۴- بار ۱۰۰ درصد بوده است.

جدول ۹- میانگین صفات اندازه گیری شده در آزمایشگاه تحت تنش ۴- بار
Table 9. Mean of measured traits in laboratory under -4 bar stress

| Genotype | ژنوتیپ | Root to shoot length ratio | طول ریشه‌چه به ساقه‌چه | وزن خشک ریشه‌چه به ساقه‌چه | طول ریشه‌چه (میلی‌متر) | طول ساقه‌چه (میلی‌متر) | وزن خشک ریشه‌چه (گرم) | وزن خشک ساقه‌چه (گرم) |
|--------------|-----------|----------------------------|------------------------|----------------------------|------------------------|------------------------|-----------------------|-----------------------|
| | | | | | Root length (mm) | Shoot length (mm) | Root dry weight (g) | Shoot dry weight (g) |
| Binam | بینام | 1.115 | 1.031 | 1.108 | 0.993 | 0.993 | 0.166 | 0.161 |
| ChampaBoodar | چمپابودار | 1.644 | 0.829 | 15.969 | 9.716 | 9.716 | 0.338 | 0.408 |
| Hasansarae | حسن‌سرایی | 1.003 | 0.998 | 5.874 | 5.856 | 5.856 | 0.169 | 0.169 |
| Domsefid | دم‌سفید | 0.675 | 0.990 | 15.688 | 23.258 | 23.258 | 0.506 | 0.511 |
| Gharib | غريب | 1.219 | 1.260 | 6.696 | 5.491 | 5.491 | 0.630 | 0.500 |
| IR36 | ۳۶ آی‌آر | 2.206 | 0.998 | 18.119 | 8.215 | 8.215 | 0.501 | 0.502 |
| Kadus | کادوس | 2.034 | 1.007 | 18.263 | 8.977 | 8.977 | 0.337 | 0.335 |
| Anbarboo | عنبربو | 1.403 | 1.007 | 4.734 | 3.373 | 3.373 | 0.332 | 0.330 |
| IR28 | ۲۸ آی‌آر | 1.986 | 1.505 | 8.268 | 4.163 | 4.163 | 0.501 | 0.333 |
| Nemat | نمتم | 0.926 | 0.990 | 4.423 | 4.774 | 4.774 | 0.168 | 0.170 |
| IR50 | ۵۰ آی‌آر | 0.934 | 0.998 | 4.840 | 5.180 | 5.180 | 0.332 | 0.333 |
| IR30 | ۳۰ آی‌آر | 1.544 | 1.006 | 6.540 | 4.236 | 4.236 | 0.169 | 0.168 |
| Khazar | خزر | 1.214 | 1.505 | 1.521 | 1.253 | 1.253 | 0.500 | 0.332 |
| Neda | ندا | 1.478 | 1.000 | 11.272 | 7.628 | 7.628 | 0.500 | 0.500 |
| Deilamani | دیلمانی | 2.040 | 0.446 | 12.384 | 6.071 | 6.071 | 0.335 | 0.751 |
| Hashemi | هاشمی | 0.729 | 0.997 | 20.764 | 28.486 | 28.486 | 0.511 | 0.513 |
| Hasani | حسنی | 0.761 | 0.997 | 6.582 | 8.646 | 8.646 | 0.499 | 0.501 |
| DomSorkh | دم‌سروخ | 0.759 | 1.000 | 3.450 | 4.544 | 4.544 | 0.333 | 0.333 |
| Dorfak | درفک | 1.738 | 1.643 | 1.334 | 0.767 | 0.767 | 0.332 | 0.202 |
| Salari | سالاری | 0.756 | 0.993 | 6.157 | 8.143 | 8.143 | 0.500 | 0.504 |
| DomZard | دم‌زرد | 0.000 | 0.000 | 0.000 | 0.000 | 0.000 | 0.000 | 0.000 |
| DomSiah | دم‌سیاه | 0.675 | 0.995 | 16.175 | 23.970 | 23.970 | 0.507 | 0.510 |
| Laine830 | ۸۳۰ لاین | 1.390 | 1.089 | 1.122 | 0.807 | 0.807 | 0.158 | 0.145 |
| Bejar | بخار | 2.633 | 1.001 | 19.931 | 7.570 | 7.570 | 0.500 | 0.500 |
| Sepidrood | سپیدرود | 1.970 | 1.004 | 16.051 | 8.148 | 8.148 | 0.337 | 0.336 |
| Sadri | صدری | 0.000 | 0.000 | 0.000 | 0.000 | 0.000 | 0.000 | 0.000 |
| IR60 | ۶۰ آی‌آر | 1.852 | 0.665 | 10.360 | 5.595 | 5.595 | 0.499 | 0.751 |
| Gohar | گوهر | 1.587 | 0.999 | 4.016 | 2.531 | 2.531 | 0.332 | 0.332 |
| Saleh | صالح | 1.278 | 1.000 | 3.523 | 2.756 | 2.756 | 0.332 | 0.332 |
| Line44 | ۴۴ لاین | 3.215 | 2.381 | 60.682 | 18.875 | 18.875 | 0.819 | 0.344 |
| Line831 | ۸۳۱ لاین | 2.299 | 1.389 | 30.527 | 13.277 | 13.277 | 0.700 | 0.504 |
| Shiroodi | شیروودی | 2.389 | 1.343 | 29.254 | 12.247 | 12.247 | 0.674 | 0.502 |

تفاوت در الگوی گروه‌بندی و مبادله ژنوتیپ در میان گروه‌های مختلف در روش‌های مختلف تجزیه و تحلیل تنوع، در تعدادی از مطالعات گزارش کرده‌اند. کارهو و همکاران (Karhu *et al.*, 1996) گزارش کردند که اگر نشانگرها به تعداد چند هزار استفاده شوند و صفات مورفولوژیکی و فیزیولوژیکی تمام پارامترهای ممکن را داشته باشند، تنوع ارائه شده توسط گروه‌بندی‌های متفاوت،

در سطح تنش ۴- بار نیز از ۱۵ ژنوتیپی که در گروه دوم مولکولی در کنار هم قرار گرفتند، ۱۲ رقم در تجزیه خوش‌های حاصل از صفات مورفولوژیک در گروه سوم قرار گرفتند و لاین ۸۳۱، لاین ۴۴، لاین ۸۳۰ هم در گروه دوم مولکولی قرار گرفتند در تجزیه خوش‌های حاصل از صفات مورفولوژیک در گروه مجزا قرار گرفتند و تست منتل نیز همبستگی دو ماتریس را ۰/۷۲ بیان کرد.

RM325 و RM153 نشان‌دهنده کارآیی بالای این نشانگرها در تمايز ژنتیک‌های برنج در این تحقیق بود و می‌توان از این نشانگرها در بررسی تنوع ژنتیکی برنج استفاده نمود. نشانگرهای RM325، RM317، RM336 و RM3 نیز به خوبی ژنتیک‌ها را از نظر صفات بررسی شده، به ویژه خصوصیات مربوط به ریشه و نسبت صفات اندازه‌گیری شده در شرایط تنفس از هم جدا کردند. واکنش ارقام مورد مطالعه به تنفس^۴-۴ بار بر اساس خصوصیات مرفلولوژیک نیز نشان داد که ارقام بینام، دمزرد و صدری، دارای کمترین طول ریشه و بیشترین حساسیت و رقم شیروودی و لاینهای ۴۴ و ۸۳۱ دارای بیشترین طول ریشه و بیشترین تحمل به تنفس خشکی بودند (جدول ۹). ژنتیک‌هایی که دارای تنوع مرفلولوژیک و مولکولی بیشتری باشند، می‌توانند به منظور تولید دورگ‌های برتر در برنامه‌های اصلاحی مورد استفاده قرار گیرند. بر این اساس و با توجه به نتایج این پژوهش، دورگ‌گیری بین ژنتیک‌های بینام و لاین^۴، بینام و شیروودی، بینام و سالاری، بینام و IR36، دم زرد و شیروودی، نعمت و دم زرد و خزر و سپیدرود، برای دستیابی به هتروزیس بیشتر و احتمالاً افزایش مقاومت به خشکی پیشنهاد می‌شوند.

سپاسگزاری

از ریاست و پرسنل محترم موسسه تحقیقات برنج کشور به خاطر حمایت‌های بی‌دریغ آمها در اجرای این پژوهش قدردانی می‌شود.

ممکن است بسیار نزدیک باشد. یکی دیگر از دلایل ممکن برای این تفاوت در گروه‌بندی ممکن است تاثیر محیط زیست و اثر متقابل ژنتیک و محیط باشد. در مقایسه با ویژگی‌های مرفلولوژیک و فیزیولوژیک، نشانگرهای مولکولی مقایسه مستقیم تنوع ژنتیکی در سطح DNA را فراهم می‌کنند که تحت تأثیر محیط زیست و شیوه‌های مدیریتی قرار نمی‌گیرد. بهترین تجزیه و تحلیل از تنوع ژنتیکی در میان ژنتیک‌ها، با استفاده از صفات مرفلولوژیک و نشانگرهای مبتنی بر DNA می‌باشد. داده‌های نشانگرها مولکولی و مرفلولوژیک، روش‌های مختلف گروه‌بندی و اندازه‌گیری ارتباط بین ژنتیک‌ها را پیشنهاد می‌کند.

در تجزیه به مختصات اصلی، درصد کمی از تنوع کل توسط تعداد زیادی از مولفه‌ها توجیه شد که نشان می‌دهد آغازگرهای مورد استفاده در این پژوهش، ناحیه کروموزومی زیادی را تحت پوشش قرار داده و در قسمت‌های مختلف ژنوم پراکنده هستند و به خوبی تنوع ژنتیکی بین ژنتیک‌ها را تعیین کردند. از گروه‌بندی ژنتیک‌ها بر اساس تجزیه خوش‌های و صحت ۹۶ درصدی این گروه‌بندی بر اساس تابع تشخیص می‌توان نتیجه‌گیری نمود که تلاقی بین ژنتیک‌هایی که کمترین تشابه (بیشترین فاصله) را دارند، بهترین نتیجه را در دست‌یابی به حداقل هتروزیس خواهد داشت. در مجموع با توجه به معیارهای مختلف محاسبه شده در گروه‌های مختلف برنج می‌توان گفت که تنوع ژنتیکی نسبتاً خوبی در هر گروه از ارقام و نیز بین گروه‌های متفاوت وجود داشت. بالا بودن معیارهای تعداد آلل موثر، تنوع ژنی نی، شاخص شانون و میزان PIC برای نشانگرهای

References

- Allahgholipour, M., Mohammad-Salehi, M. and Ebadi, A. A. 2005.** Genetic variation and classification of cultivated rice. *Journal of Agricultural Science* 35 (4): 973-981. (In Persian).
- Allahgholipour, M., Moradi, S., Nahvi, M., Lotfi, A. and Nyazi, N. 2012.** Evaluation of different rice populations and selection of the cold tolerant lines. Final Report, Rice Research Institute of Iran, Rasht, Iran. (In Persian).
- GenStat. 2009.** GenStat for Windows, ver. 12. VSN International, Hamel Hempstead, UK.
- Haidara, K., Zamir, L., Shi, Q. W. and Batist, G. 2006.** The flavonoid casticin has multiple mechanisms of tumor cytotoxicity action. *Cancer Letters* 242: 180-190.
- Hartl, D. L. and Clark, A. G. 1997.** Principles of population genetics (3rd ed.). Sinauer Associates Inc., Publishers. Sunderland, Massachusetts, Canada.
- Karhu, A., Hurme, P., Karjalainen, M., Karvonen, P., Kärkkäinen, K., Neale, D. and Savolainen, O. 1996.** Do molecular markers reflect patterns of differentiation in adaptive traits of conifers. *Theoretical and Applied Genetics* 93 (1-2): 215-221.
- Lapitan, V. C., Brar, D. S., Abe, T. and Redona, E. D. 2007.** Assessment of genetic diversity of Philippine rice carrying good quality traits using SSR markers. *Breeding Science* 57: 263- 270.

- Luan, I., Wang, X., Long, W. B., Liu, Y. H., Tu, S. B., Zhao, Z. P., Kong, F. L. and Yu, M. Q. 2008.** Microsatellite analysis of genetic variation and population genetic differentiation in autotetraploid and diploid rice. **Biochemical Genetics** 46: 248-266.
- Mohammadi, S. A. and Prasana, B. M. 2003.** Analysis of genetic diversity in crop plants- Salient statistical tools and considerations. **Crop Science** 43: 1235-1248.
- Michel, E. B. and Kaufmann, M. K. 1972.** The osmotic potential of polyethylene glycol 6000. **Plant Physiology** 51:914-916.
- Ming, H., Fang-Min, X., Li-Yun, C. H., Xiang-Qian, Z. H., Jojee, L. and Madonna, D. 2010.** Comparative analysis of genetic diversity and structure in rice using ILP and SSR markers. **Rice Science** 17 (4): 257-268.
- Mirdarikvand, M., Nematzadeh, Gh., Aalami, A. and Ghareyazi, B. 2003.** Allelic frequency and polymorphism of isozyme markers in Iranian rice. **Iranian Journal of Crop Science** 6 (2): 145-159. (In Persian).
- Mondini, L., Noorani, A. and Mario, A. 2009.** Assessing plant genetic diversity by molecular tools. **Diversity** 1: 19-35.
- Nei, M. 1978.** Estimation of average heterozygosity and genetic distance from a small number of individuals. **Genetics** 89: 583-590.
- Ni, J., Colowit, P. M. and Mackill, D. J. 2002.** Evaluation of genetic diversity in rice subspecies using microsatellite markers. **Crop Science** 42: 601-607.
- Powell, W., Morgante, M., Andre, C., Vogel, J., Tingey, S. and Rafalski, A. 1996.** The comparison of RFLP, RAPD, AFLP and SSR (microsatellite) markers for germplasm analysis. **Molecular Breeding** 2: 225-238.
- Rabiei, B., Valizadeh, M., Ghareyazie, B., Moghaddam, M. and Juahar-Ali, A. 2004.** Identification of QTLs for rice grain size and shape of Iranian cultivars using SSR markers. **Euphytica** 137: 325-332.
- Rohlf, F. J. 1999.** NTSYSpc: Numerical taxonomy and multivariate analysis system, ver. 2.02. Applied Biostatistics, New York.
- Safaei Chaeikar, S., Rabiei, B., Samizadeh, H. and Esfahani, M. 2008.** Evaluation of tolerance to terminal drought stress in rice (*Oryza sativa* L.) genotypes. **Iranian Journal of Crop Science** 9 (4): 315-331. (In Persian).
- Saghai Maroof, M. A., Biyashev, R. M., Yang, G. P., Zhang, Q. and Allard, R. W. 1994.** Extraordinarily polymorphic microsatellite DNA in barely: Species diversity, chromosomal locations and population dynamics. **Proceeding of National Academy of Sciences, USA** 91: 5466-5570.
- Shannon, C. E. 1948.** A mathematiacal theory of communication. **The Bell System Technical Journal** 27: 379-423 and 623-656.
- Srividhya, A., Vemireddy, L., Ramanarao, P., Sridhar, S., Jayaprada, M. and Anuradha, G. H. 2011.** Molecular mapping of QTLs for drought related traits at seedling stage under PEG induced stress conditions in rice. **American Journal of Plant Sciences** 2: 190-201.
- Syahsar, B., Allahdu, M. and Shahsavand Hasani, H. 2010.** Assessment of genetic diversity of tritipyrum, triticale and wheat lines using RAPD and ISJ markers. **Iranian Journal of Field Crop Science** 41 (3): 555-568. (In Persian).
- Tabkhkar, N., Rabiei, B. and Sabouri, A. 2012.** Assessing of allele frequency and polymorphism of microsatellite markers linked to gene loci controlling grain quality in rice. **Iranian Journal of Field Crop Science** 42 (3): 495-507. (In Persian).
- Tang, S., Zhang, Y., Zeng, L., Luo, L., Zhong, Y. and Geng, Y. 2010.** Assessment of genetic diversity and relationships of upland rice accessions from Southwest China using microsatellite markers. **Official Journal of the Societa Botanica Italiana** 144 (1): 85-92.
- Thanh, N. D., Zheng, H. G., Dong, N. V., Trinh, L. N., Ali, M. L. and Nguyen, H. T. 1999.** Genetic variation in root morphology and microsatellite DNA loci in upland rice (*Oryza sativa* L.) from Vietnam. **Euphytica** 105: 43-51.
- Youssef, M. A., Mansour, A. and Solliman, S. 2010.** Molecular markers for new promising drought tolerant lines of rice under drought stress via RAPD-PCR and ISSR markers. **Journal of American Science** 6 (12): 355- 363.

Assessment of morphologic and genetic diversity of rice varieties using SSR markers associated with drought tolerance characteristics

Zohreh Valizadeh Soumeh¹, Habibollah Samizadeh Lahiji^{2*} and Babak Rabiei³

1, 2 and 3. Graduate Student, Assoc. Prof. and Prof., respectively, Dept. of Agronomy and Plant Breeding, Faculty of Agricultural Sciences, University of Guilan, Iran

(Received: July 13, 2013- Accepted: February 17, 2014)

Abstract

In this study, the morphologic and genetic diversity of 32 rice varieties were studied using 15 microsatellite (SSR) markers linked to QTLs controlling drought tolerance characteristics. The total number of alleles generated by each marker ranged from 3 alleles at RM317 locus to 8 alleles at RM3, RM228 and RM231 loci. The RM317 had the highest values for effective number of alleles, Nei's gene diversity, Shannon's information index and polymorphic information content (PIC) among the all studied markers. The studied genotypes were classified into 3 groups based on morphological characteristics under non-stress and -4 bar stress conditions and based on molecular data. Totally, results of current research showed that there was a suitable genetic diversity between and within the different rice groups. Furthermore, reaction of the studied varieties to -4 bar stress indicated that the variety Shiroudi and the Lines 44 and 831 had the highest root length as well as the highest tolerance while the varieties Binam, Domzard and Sadri had the lowest root length and the highest sensitivity to drought stress. Among the used markers, the RM153, RM317 and RM325 markers with the most number of effective alleles as well as the highest diversity criteria were the best markers to separate the rice varieties. Therefore, these SSR markers can be utilized in marker-assisted selection programs under drought stress condition after confirmation of the obtained results in other complementary experiments.

Keywords: Drought tolerance, Genetic diversity, Morphological characteristics, Rice, SSR markers

*Corresponding author: hsamizadeh@guilan.ac.ir